

**COMPITO DI CONTROLLI AUTOMATICI  
e FONDAMENTI DI AUTOMATICA  
Ingegneria dell'Informazione ed Elettronica  
5 Luglio 2021**

**Esercizio 1.** [10 punti] Dato il sistema di funzione di trasferimento

$$G(s) = \frac{(1+s)^2}{s(1-0.5s+4s^2)}$$

- i) Si determini il diagramma di Bode (modulo e fase) della risposta in frequenza del sistema.
- ii) Si determini il diagramma di Nyquist di  $G(j\omega)$  per  $\omega \in \mathbb{R}$ , individuandone asintoti ed intersezioni con gli assi.  
**Nota.** È richiesto di calcolare SOLO le pulsazioni corrispondenti alle intersezioni e non i valori numerici delle intersezioni. Dal momento che il calcolo delle intersezioni è molto laborioso, esse possono essere indicate con le lettere  $A, B, C, \dots$
- iii) Si studi attraverso il criterio di Nyquist la stabilità BIBO del sistema retroazionato

$$W(s) = \frac{KG(s)}{1+KG(s)},$$

al variare di  $K$  in  $\mathbb{R}$ ,  $K \neq 0$ , e in caso non sia BIBO stabile si determini il numero di poli a parte reale positiva e/o a parte reale nulla.

**Esercizio 2.** [9 punti] Data

$$G(s) = \frac{s^2 + 1}{(s-1)(s+1)^2(s+2)}$$

si traccino, in modo approssimato, i luoghi positivo e negativo (con analisi di asintoti ed intersezioni con l'asse immaginario, ma senza calcolo esplicito dei punti doppi). Per capire l'andamento dei rami fuori dall'asse reale, e la collocazione di alcuni punti doppi, si utilizzi la tabella di Routh e si deduca la stabilità BIBO di  $W(s) = \frac{KG(s)}{1+KG(s)}$  al variare di  $K$  reale, individuando, per i valori di  $K$  per cui la prima colonna della tabella non si annulla, il numero di poli a parte reale positiva.

**Esercizio 3.** [7 punti] i) Data la funzione di trasferimento

$$G(s) = \frac{s+10}{s}$$

è richiesto il progetto di un controllore stabilizzante  $C(s)$  che attribuisca al risultante sistema retroazionato  $W(s)$  tipo 2 ed errore a regime alla rampa parabolica pari a circa

0.1, ed alla funzione di trasferimento in catena aperta  $C(s)G(s)$   $\omega_A \simeq 1$  rad/s,  $m_\phi \simeq 90^\circ$ .  
 ii) Data la funzione di trasferimento

$$G(s) = \frac{(s+1)^2}{(s+10)^2}$$

è richiesto il progetto di un controllore stabilizzante  $C(s)$  che attribuisca al risultante sistema retroazionato  $W(s)$  tipo 1 ed errore a regime alla rampa lineare pari a circa 0.1, ed alla funzione di trasferimento in catena aperta  $C(s)G(s)$   $\omega_A \simeq 100$  rad/s,  $m_\phi \simeq 90^\circ$ .

**Teoria.** [5 punti] Si consideri un modello ingresso/uscita LTI a tempo continuo causale, descritto da un'equazione differenziale lineare e a coefficienti costanti del tipo

$$a_n \frac{d^n y(t)}{dt^n} + a_{n-1} \frac{d^{n-1} y(t)}{dt^{n-1}} + \dots + a_0 y(t) = b_m \frac{d^m u(t)}{dt^m} + \dots + b_0 u(t),$$

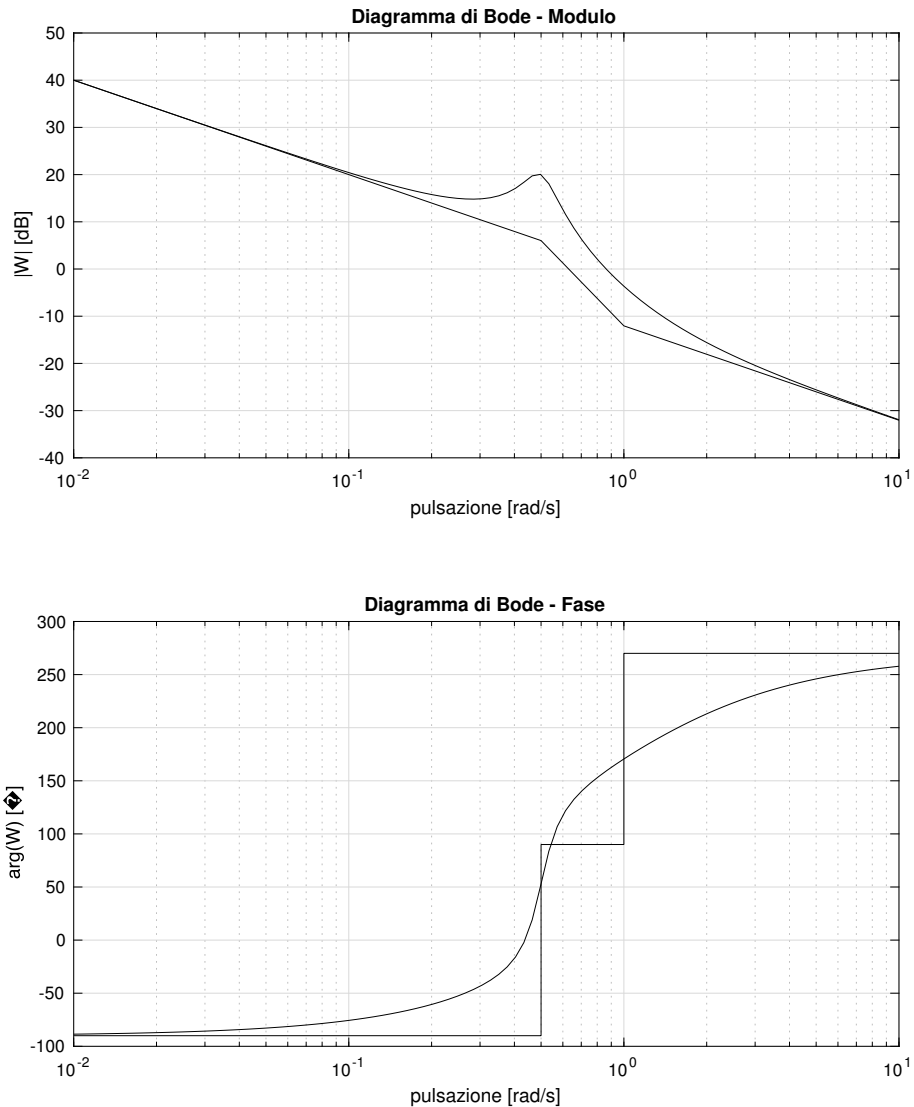
( $a_n, b_m \neq 0$  e  $n \geq m$ ) e sollecitato dal segnale di ingresso

$$u(t) = e^{j\tilde{\omega}t} \delta_{-1}(t),$$

con  $\tilde{\omega} \in \mathbb{R}$  fissato. Assumendo condizioni iniziali arbitrarie, si introducano i concetti di risposta di regime permanente e di risposta transitoria, e si dimostri (operando nel dominio delle trasformate) come sotto opportune ipotesi l'evoluzione complessiva (d'uscita)  $y(t)$  del sistema sia sempre esprimibile come somma delle due. Come cambia la risposta alla precedente domanda se le condizioni iniziali del sistema sono nulle?

## SOLUZIONI

**Esercizio 1.** i) Una volta riportata la funzione di trasferimento in forma di Bode si nota che essa ha guadagno di Bode  $K_B = 1$ , due zeri reali negativi in  $s = -1$  e due poli complessi coniugati instabili con  $\omega_n = \frac{1}{2}$  e  $\xi = -\frac{1}{8}$ . Quindi il diagramma di Bode del modulo scende sempre (eccetto per un picco di risonanza dovuto ai poli complessi) da  $+\infty$  a  $-\infty$  (il primo tratto con pendenza  $-20$  dB/dec, il tratto da  $\omega = 1/2$  a  $\omega = 1$  con pendenza  $-60$  dB/dec e l'ultimo tratto con pendenza  $-20$  dB/dec), mentre la fase sale sempre, da  $-90^\circ$  fino a  $+270^\circ$ .



ii) Per quanto concerne il diagramma di Nyquist, esso arriva da  $-\infty$  in basso, e l'andamento della fase lo obbliga a passare prima nel primo quadrante, poi nel secondo, infine nel terzo dove poi converge ad  $s = 0$  con tangente verticale, parallelo al semiasse immaginario negativo. Avremo quindi due intersezioni con l'asse reale ed una con l'asse immaginario,

nell'ordine

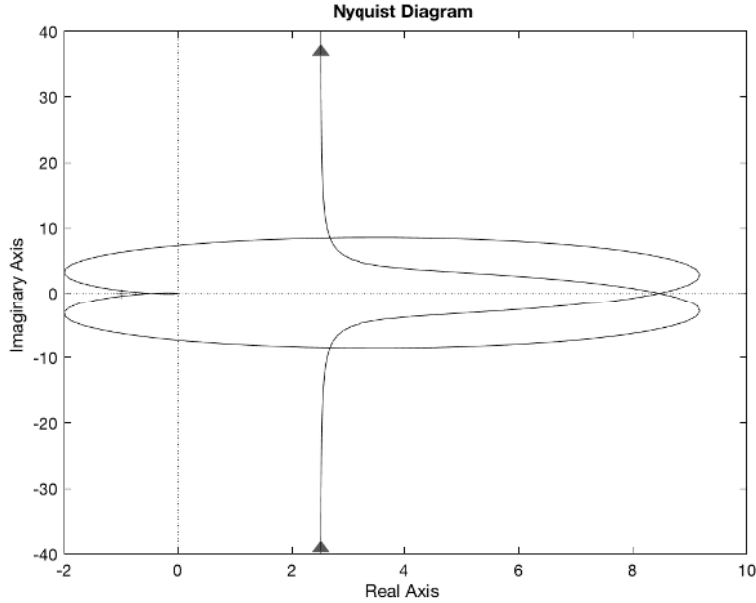
$$\begin{aligned}\omega = \omega_1 &\Rightarrow s = A, \quad A > 0, \\ \omega = \omega_2 &\Rightarrow s = iB, \quad B > 0, \\ \omega = \omega_3 &\Rightarrow s = -C, \quad C > 0,\end{aligned}\quad \text{con } 0 < \omega_1 < \omega_2 < \omega_3.$$

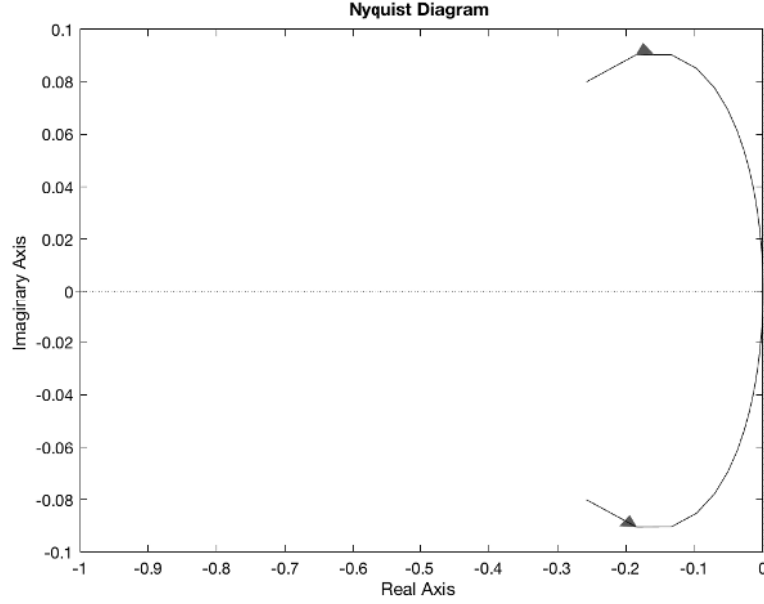
Per determinate asintoto ed intersezioni con gli assi, calcoliamo parte reale e coefficiente dell'immaginario di  $G(i\omega)$  ottenendo:

$$G(i\omega) = \frac{\frac{5}{2} - \frac{17}{2}\omega^2}{(1 - 4\omega^2)^2 + \frac{\omega^2}{4}} + i \frac{-4\omega^4 + 6\omega^2 - 1}{\omega[(1 - 4\omega^2)^2 + \frac{\omega^2}{4}]}$$

e la parte immaginaria si annulla per  $\omega^2 = \frac{3-\sqrt{5}}{4} \approx 0.19$  e  $\omega^2 = \frac{3+\sqrt{5}}{4} \approx 1.31$ , mentre quella reale per  $\omega^2 = \frac{5}{17} \approx 0.542$ , da cui le tre pulsazioni  $\omega_1 = \sqrt{0.19}$ ,  $\omega_2 = \sqrt{0.542}$ ,  $\omega_3 = \sqrt{1.31}$ . Assumiamo  $A := G(i\omega_1) > 0$ ,  $B := \frac{G(i\omega_2)}{i} > 0$  e  $C := -G(i\omega_3) > 0$ . Non è richiesta la valutazione numerica di  $A$ ,  $B$  e  $C$ .

Pertanto il diagramma di Nyquist di  $G(i\omega)$  (per pulsazioni non negative) parte dal punto improprio nel quarto quadrante parallelo alla retta di ascissa  $5/2$ , poi attraversa l'asse reale in corrispondenza alla pulsazione  $\omega_1$ , poi ruotando in verso antiorario attraversa l'asse immaginario per  $\omega = \omega_2$ , successivamente, sempre ruotando in verso antiorario attraversa l'asse reale per  $\omega = \omega_3$  e infine va all'origine (a cui arriva con tangente parallela al semiasse immaginario negativo). Di seguito sono riportati il diagramma complessivo (per pulsazioni positive e negative) e il dettaglio del diagramma in prossimità all'origine per valori di pulsazioni positive o negative di modulo molto alto.





iii) Considerando il cerchio all'infinito (chiuso in verso orario) ed il punto critico  $s = -\frac{1}{K}$ , si scopre che

$$\begin{aligned} -\frac{1}{K} &< -C \Rightarrow N = 0, n_{G+} = 2, n_{W+} = 2 \\ -C &< -\frac{1}{K} < 0 \Rightarrow N = +2, n_{G+} = 2, n_{W+} = 0 \\ 0 &< -\frac{1}{K} < A \Rightarrow N = +1, n_{G+} = 2, n_{W+} = 1 \\ A &< -\frac{1}{K} \Rightarrow N = -1, n_{G+} = 2, n_{W+} = 3 \end{aligned}$$

Si nota inoltre che per  $1/K = C$  e per  $-1/K = A$  la  $W(s)$  ha due poli immaginari coniugati. Quindi  $W(s)$  è BIBO stabile se e solo se  $K > \frac{1}{C} > 0$ .

**Esercizio 2.** Osserviamo preliminarmente che  $n = 4 > 2 = m$  e quindi sia nel luogo positivo che nel luogo negativo ci sono due asintoti. Le direzioni di tali asintoti sono  $\pi/2, 3\pi/2$  nel luogo positivo e  $0, \pi$  nel luogo negativo. Il baricentro della stella di asintoti (rilevante solo nel caso del luogo positivo) è:

$$(x_B, 0), \quad \text{con} \quad x_B = \frac{(1 - 1 - 1 - 2) - (j - j)}{4 - 2} = -\frac{3}{2}.$$

Se considero il luogo positivo noto che appartiene ad esso solo il seguente intervallo dell'asse reale:  $(-2, 1)$ . Invece appartengono al luogo negativo le due semirette  $(-\infty, -2)$  e  $(1, +\infty)$ . Una valutazione preliminare ci porta quindi a dire che nel luogo positivo ci sono due punti doppi sull'asse reale, uno in  $(-2, -1)$  e uno in  $(-1, 1)$ . I due rami uscenti da  $-1$  e  $-2$  si incrociano in qualche punto dell'intervallo  $(-2, -1)$  e poi vanno all'asintoto verticale centrato in  $(-3/2, 0)$ . D'altra parte i due rami che partono da  $-1$  e  $1$  si incrociano in qualche punto (doppio) intermedio e poi vanno ai due zeri in  $\pm j$ . Si tratta di capire se tali rami sono interamente contenuti nel semipiano destro, in quello sinistro o attraversano l'asse immaginario. Per quel che concerne il luogo negativo, invece, abbiamo un ramo sull'asse reale che da  $-2$  va a  $-\infty$ , uno sull'asse reale che va da  $1$  va a  $+\infty$  e due rami che partono dal polo doppio in  $-1$  e raggiungono i due zeri in  $\pm j$ . Anche in questo caso si

deve capire se tali rami sono interamente contenuti nel semipiano sinistro o attraversano l'asse immaginario.

La ricerca delle intersezioni con l'asse immaginario conduce a

$$(j\omega - 1)(1 - \omega^2 + j2\omega)(2 + j\omega) + K(1 - \omega^2) = 0 \Rightarrow \begin{cases} -3\omega(1 + \omega^2) = 0 \\ \omega^4 - \omega^2 - 2 + K(1 - \omega^2) = 0 \end{cases}$$

Si vede quindi che l'unica soluzione possibile è  $\omega = 0$  per  $K = 2$ .

Se ora applichiamo la tabella di Routh al polinomio

$$d(s) + Kn(s) = s^4 + 3s^3 + (K + 1)s^2 - 3s + (K - 2)$$

osserviamo preliminarmente che il polinomio ha i coefficienti del termine di grado 4 e 1 di segno opposto per ogni scelta di  $K$ . Pertanto abbiamo ora tutte le risposte che ci servono circa l'andamento rispetto all'asse immaginario dei rami sia del luogo positivo che del luogo negativo.

La tabella di Routh è la seguente:

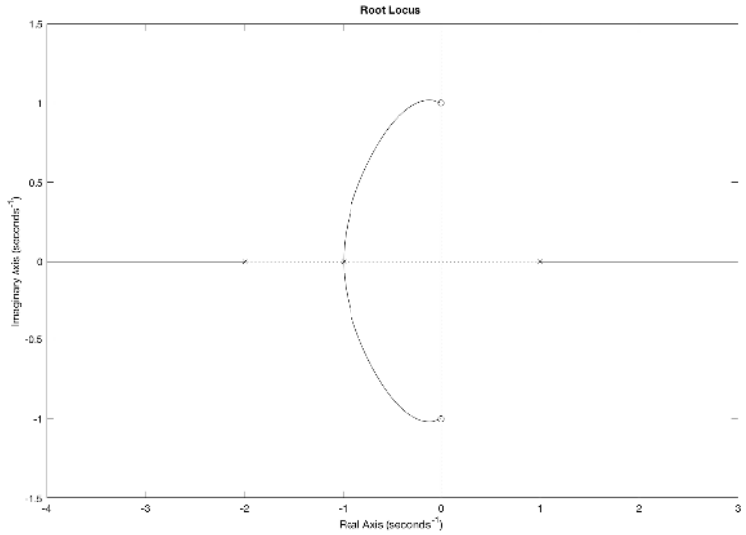
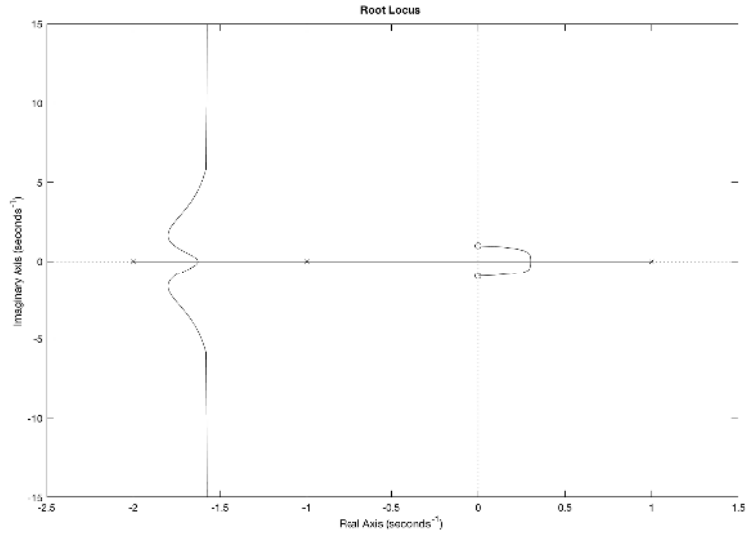
4	1	$K + 1$	$K - 2$
3	3	$-3$	
2	$K + 2$	$K - 2$	
1	$\frac{-6K}{K + 2}$		
0	$K - 2$		

Da questa tabella si vede chiaramente che il polinomio non è mai di Hurwitz. Se valutiamo per quali valori di  $K$  si annullano i termini in prima colonna nelle righe “2”, “1”, e “0”, troviamo  $\{-2, 0, 2\}$ . Se allora valutiamo permanenze e variazioni troviamo nei seguenti intervalli il seguente risultato:

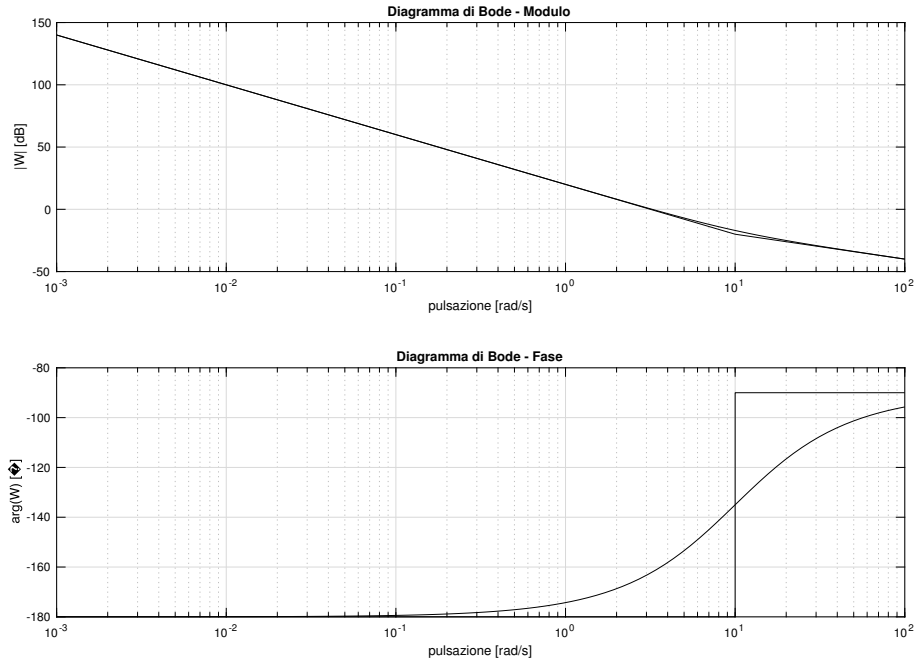
$K < -2$	1 variazione
$-2 < K < 0$	1 variazione
$0 < K < 2$	1 variazione
$K > 2$	2 variazioni

Pertanto il sistema retroazionato ha sempre un polo reale positivo tranne che per  $K > 2$ , situazione in cui ha due poli a parte reale positiva.

I luoghi positivo e negativo sono riportati qui di seguito:



**Esercizio 3.** Per il punto i), è necessario il ricorso a  $C'(s) = \frac{1}{s}$  per il requisito sul tipo mentre l'errore a regime alla rampa parabolica è già a posto; dopodichè si nota che in  $\omega_A^* = 10^0$  rad/s il modulo di  $C'(j\omega)G(j\omega)$  è a +20 dB, mentre la fase è a quasi  $-180^\circ$ .



È necessario quindi il ricorso ad una rete a sella per abbassare il modulo di 20dB, aumentando nel contempo la fase di circa  $+90^\circ$ . Una possibile (tra le infinite) soluzioni è la seguente

$$C''(s) = \frac{1 + 10s}{1 + 10^3s} \frac{1 + 10s}{1 + s/10}$$

che porta al compensatore complessivo

$$C(s) = \frac{(1 + 10s)^2}{s(1 + 10^3s)(1 + s/10)}.$$

Infatti la rete anticipatrice

$$C_{ant}(s) = \frac{1 + 10s}{1 + s/10}$$

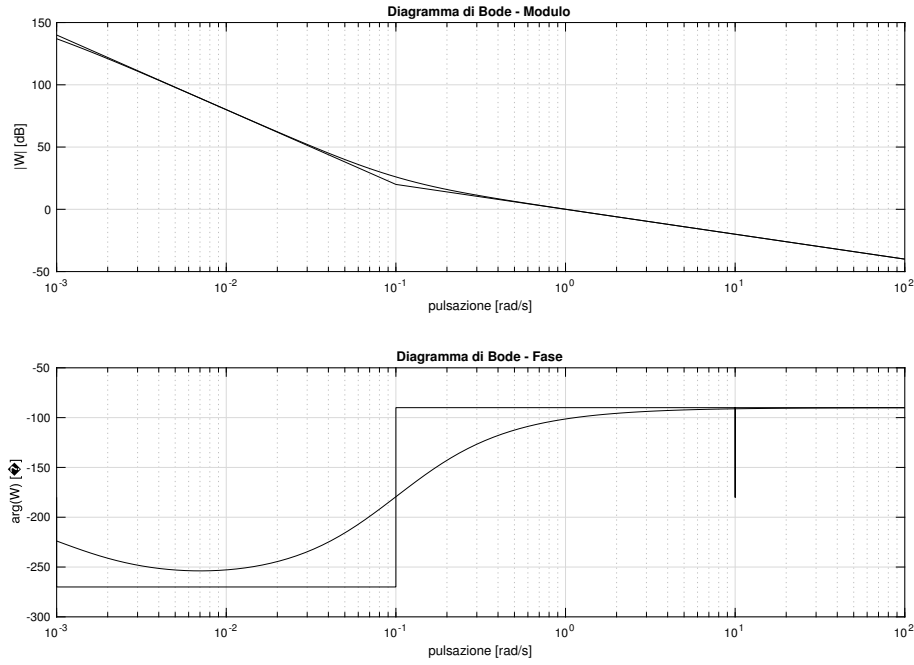
alza la fase in  $\omega^*$  di  $90^\circ$ , ma al contempo dà un contributo di 20 dB al modulo. La rete attenuatrice

$$C_{att}(s) = \frac{1 + 10s}{1 + 10^3s}$$

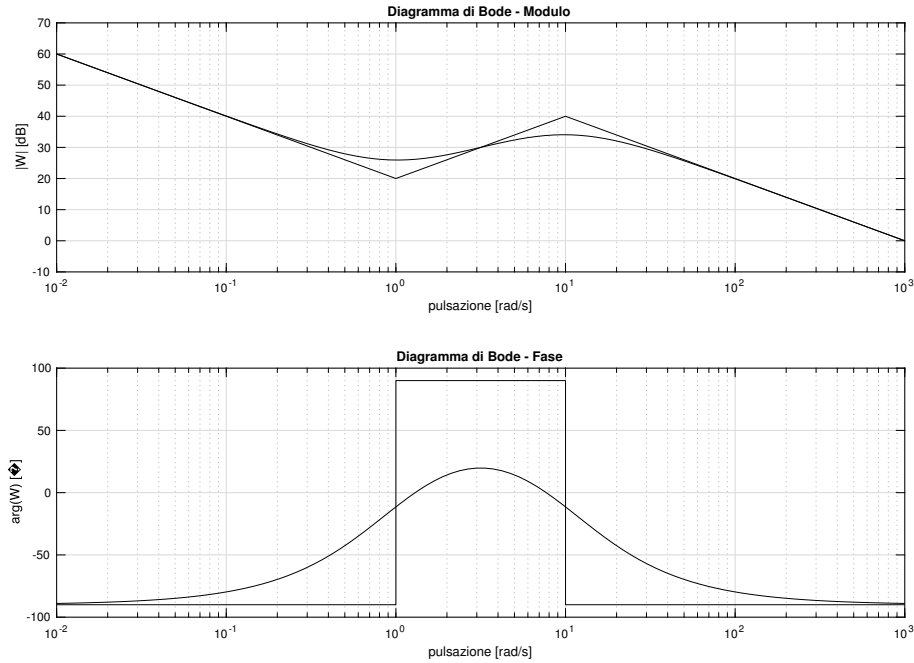
è posizionata prima in modo da dare un contributo nullo alla fase, mentre il polo precedente di due decadi lo zero così da dare un contributo al modulo di  $-40$  dB.

La stabilità BIBO del sistema retroazionato è garantita dal criterio di Bode.





Per il punto ii), è necessario il ricorso a  $C'(s) = \frac{10^3}{s}$  per il requisito sul tipo e sull'errore a regime alla rampa lineare; dopodichè si nota che in  $\omega_A^* = 10^2 \text{ rad/s}$  il modulo di  $C'(j\omega)G(j\omega)$  è a +20 dB, mentre la fase è superiore a  $-90^\circ$ .



Possiamo allora ricorrere ad una rete attenuatrice che abbassi il modulo di 20 dB e non abbassi sostanzialmente la fase. A tal fine è sufficiente scegliere una rete attenuatrice con un polo in  $-1$  e uno zero in  $-10$ , il che corrisponde a fare una doppia cancellazione

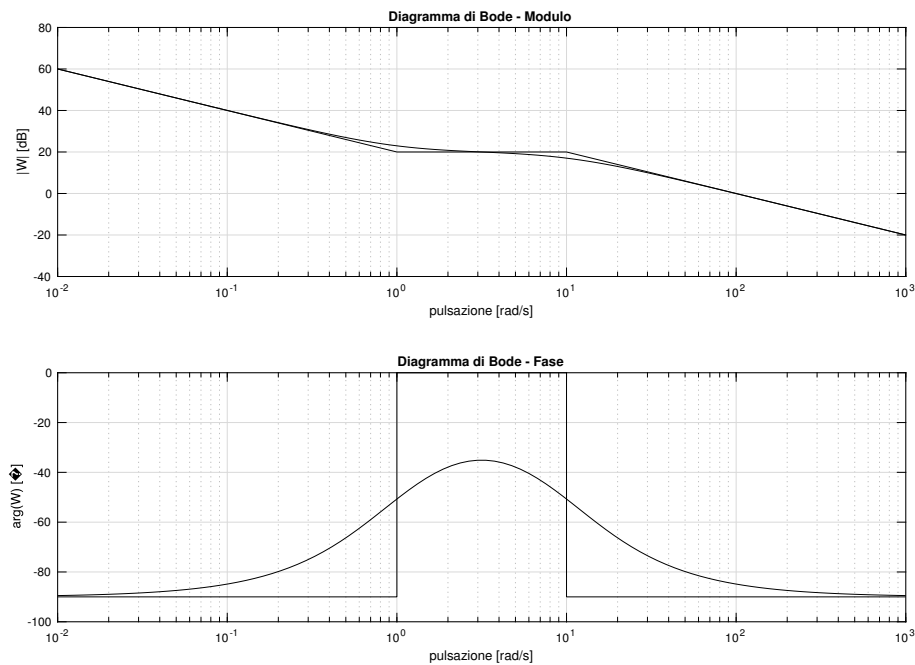
ammissibile nella funzione di trasferimento del processo:

$$C''(s) = \frac{1 + s/10}{1 + s}.$$

Il controllore complessivo diventa allora

$$C(s) = \frac{10^3(1 + s/10)}{s(1 + s)}.$$

Il diagramma finale di  $C(s)G(s)$  è il seguente:



La stabilità BIBO del sistema retroazionato è garantita dal criterio di Bode.

**Teoria.** Si veda il Libro di testo, pp. 89 e seguenti.